

---

# RENDSZER- ÉS IRÁNYÍTÁSTECHNIKA

## HÁZI FELADAT

---

Réda Vince – Z697LX

1. táblázat. Házi feladat kódja

| $\vartheta_1$ | $\vartheta_2$ | $\vartheta_3$ | $\vartheta_4$ |
|---------------|---------------|---------------|---------------|
| 36            | 4,063         | 40,827        | 0,05          |

Mechatronika, Optika és Gépészeti Informatika Tanszék

Budapesti Műszaki és Gazdaságtudományi Egyetem

2020. október 22.

# Tartalomjegyzék

|  |           |
|--|-----------|
| <b>1. BDC motor leírása</b>  | <b>3</b>  |
| a. A BDC motor hatásvázlata . . . . .                                    | 3         |
| b. A feszültség – szögsebesség átviteli függvény felírása . . . . .      | 3         |
| c. A feszültség – áram átviteli függvény felírása . . . . .              | 4         |
| d. A terhelőnyomaték – szögsebesség átviteli függvény felírása . . . . . | 4         |
| e. A terhelőnyomaték – áram átviteli függvény felírása . . . . .         | 5         |
| <b>2. BDC motor vizsgálata</b>   | <b>6</b>  |
| a. Szögsebességválasz a névleges feszültségre . . . . .                  | 6         |
| b. Áram kimenet a névleges feszültség hatására . . . . .                 | 7         |
| c. Nyomaték kimenet a névleges feszültség hatására . . . . .             | 7         |
| <b>3. PI szabályzó tervezése</b>   | <b>9</b>  |
| a. A zárt szabályozási kör egyenletei . . . . .                          | 9         |
| b. Stabilitás a körerősítés függvényében . . . . .                       | 10        |
| c. Megadott körerősítés esetén Bode-diagram és fázistartalék . . . . .   | 10        |
| d. Súlyfüggvény . . . . .  | 11        |
| e. Átmeneti függvény . . . . .   | 11        |
| <b>4. PD szabályzó tervezése</b>   | <b>12</b> |
| a. A zárt szabályozási kör egyenletei . . . . .                          | 12        |
| b. Stabilitás a körerősítés függvényében . . . . .                       | 12        |
| c. Megadott körerősítés esetén Bode-diagram és fázistartalék . . . . .   | 12        |
| d. Súlyfüggvény . . . . .  | 13        |
| e. Átmeneti függvény . . . . .   | 14        |
| <b>5. Zavaró jel PI szabályozóval (Szorgalmi feladat)</b>                | <b>15</b> |
| <b>6. Zavaró jel PD szabályozóval (Szorgalmi feladat)</b>                | <b>16</b> |

## Megjegyzések:

- Ahol nincs kiírva mértékegység, ott az SI értendő.
- Az egységugrás függvényt  $\theta(t)$ -vel jelölöm.

## Az egyenáramú motor paraméterei

2. táblázat. A motor és a hajtómű paraméterei

| Név                                | Jelölés    | Katalógus-beli érték                   | SI-beli érték                          |
|------------------------------------|------------|--|--|
| armatúra ellenállás                | $R_a$      | 11,1 $\Omega$                          | 11,1 $\Omega$                          |
| armatúra induktivitás              | $L_a$      | 1,52 mH                                | $1,52 \cdot 10^{-3}$ H                 |
| nyomatékállandó                    | $k_m$      | 58,2 $\frac{\text{mNm}}{\text{V}}$     | 0,0582 $\frac{\text{Nm}}{\text{V}}$    |
| sebességállandó                    | $k_s$      | 164 $\frac{\text{rpm}}{\text{V}}$      | 17,17 $\frac{\text{rad}}{\text{Vs}}$   |
| elektromos állandó                 | $k_e$      | 0,006097 $\frac{\text{V}}{\text{rpm}}$ | 0,05822 $\frac{\text{Vs}}{\text{rad}}$ |
| forgórész tehetetlenségi nyomatéka | $J_a$      | 44,6 $\text{gcm}^2$                    | $4,46 \cdot 10^{-6}$ $\text{kgm}^2$    |
| névleges szögsebesség              | $\omega_n$ | 4430 rpm                               | 463,91 $\frac{\text{rad}}{\text{s}}$   |
| névleges áramerősség               | $i_n$      | 0,804 A                                | 0,804 A                                |
| névleges feszültség                | $u_n$      | 36 V                                   | 36 V                                   |

## 1. BDC motor leírása

### a. A BDC motor hatásvázlata

Legyen

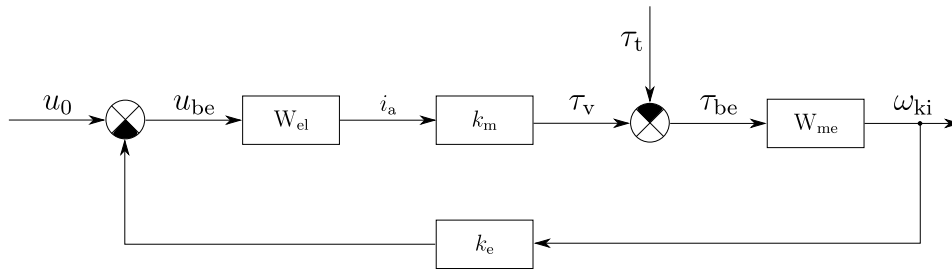
$$W_{el} = \frac{1}{R_a + L_a s} \quad (1)$$

az elektromos kör átviteli függvénye, és

$$W_{me} = \frac{1}{b + J_a s} \stackrel{b=0}{=} \frac{1}{J_a s} \quad (2)$$

a mechanikai kör átviteli függvénye.

Ekkor a rendszer hatásvázlatát az 1. ábra mutatja.



1. ábra. Hatásvázlat

### b. A feszültség – szögsebesség átviteli függvény felírása

Vegyük az 1. ábrát, és legyen  $\tau_t = 0$ .

Az előrecsatoló és visszacsatoló át átviteli függvényei

$$W_o = W_{el} k_m W_{me}, \quad (3)$$

és

$$W_f = k_e. \quad (4)$$

A zárthurkú átviteli függvény

$$W_{u_0 \rightarrow \omega_{ki}} = \frac{k_m}{L_a J_a s^2 + J_a R_a s + k_e k_m} \quad (5)$$

A  $W_{u_0 \rightarrow \omega_{ki}}$  pólusai:

$$p_1 = \frac{\sqrt{J_a(J_a R_a^2 - 4L_a k_e k_m)} - J_a R_a}{2J_a L_a} \quad (6)$$

$$p_2 = -\frac{\sqrt{J_a(J_a R_a^2 - 4L_a k_e k_m)} + J_a R_a}{2J_a L_a} \quad (7)$$

Az időállandók a pólusok reciprokanak negáltjai:

$$T_1 = \frac{2J_a L_a}{\sqrt{J_a(J_a R_a^2 - 4L_a k_e k_m)} + J_a R_a} = 0,0145 \text{ s} \quad (8)$$

$$T_2 = -\frac{2J_a L_a}{\sqrt{J_a(J_a R_a^2 - 4L_a k_e k_m)} - J_a R_a} = 1,3825 \cdot 10^{-4} \text{ s} \quad (9)$$

A rendszer nullfrekvenciás erősítése

$$A_{u_0 \rightarrow \omega_{ki}} = \frac{1}{k_e} = 17,1762 \quad (10)$$

### c. A feszültség – áram átviteli függvény felírása

Az előreccsatoló és visszacsatoló át átviteli függvényei

$$W_o = W_{el}, \quad (11)$$

és

$$W_f = k_m k_e W_{me}. \quad (12)$$

A zárt hurkú átviteli függvény

$$W_{u_0 \rightarrow i_a} = \frac{J_a s}{J_a L_a s^2 + J_a R_a s + k_e k_m} \quad (13)$$

A  $W_{u_0 \rightarrow i_a}$  pólusai:

$$p_1 = -\frac{\sqrt{J_a (J_a R_a^2 - 4L_a k_e k_m)} + J_a R_a}{2 J_a L_a} \quad (14)$$

$$p_2 = \frac{\sqrt{J_a (J_a R_a^2 - 4L_a k_e k_m)} - J_a R_a}{2 J_a L_a} \quad (15)$$

Az időállandók a pólusok reciprokanak negáltjai:

$$T_1 = -\frac{2 J_a L_a}{\sqrt{J_a (J_a R_a^2 - 4L_a k_e k_m)} - J_a R_a} = 0,0145 \text{ s} \quad (16)$$

$$T_2 = \frac{2 J_a L_a}{\sqrt{J_a (J_a R_a^2 - 4L_a k_e k_m)} + J_a R_a} = 1,3825 \cdot 10^{-4} \text{ s} \quad (17)$$

A rendszer nullfrekvenciás erősítése  $A_{u_0 \rightarrow i_a} = 0$ .

### d. A terhelőnyomaték – szögsebesség átviteli függvény felírása

Az előreccsatoló és visszacsatoló át átviteli függvényei

$$W_o = -W_{me}, \quad (18)$$

és

$$W_f = -k_m k_e W_{el}. \quad (19)$$

A zárt hurkú átviteli függvény

$$W_{\tau_l \rightarrow \omega_{ki}} = \frac{R_a + L_a s}{J_a L_a s^2 + J_a R_a s + k_e k_m} \quad (20)$$

A  $W_{u_0 \rightarrow i_a}$  pólusai:

$$p_1 = \frac{\sqrt{J_a (J_a R_a^2 - 4 L_a k_e k_m)} - J_a R_a}{2 J_a L_a} \quad (21)$$

$$p_2 = -\frac{\sqrt{J_a (J_a R_a^2 - 4 L_a k_e k_m)} + J_a R_a}{2 J_a L_a} \quad (22)$$

Az időállandók a pólusok reciprokának negáltjai:

$$T_1 = -\frac{2 J_a L_a}{\sqrt{J_a (J_a R_a^2 - 4 L_a k_e k_m)} - J_a R_a} = 1,3825 \cdot 10^{-4} \text{ s} \quad (23)$$

$$T_2 = \frac{2 J_a L_a}{\sqrt{J_a (J_a R_a^2 - 4 L_a k_e k_m)} + J_a R_a} = 0,0145 \text{ s} \quad (24)$$

A rendszer nullfrekvenciás erősítése

$$A_{\tau_l \rightarrow \omega_{ki}} = -\frac{R_a}{k_m k_e} = -3275,9 \quad (25)$$

### e. A terhelőnyomaték – áram átviteli függvény felírása

Az előreccsatoló és visszacsatoló át átviteli függvényei

$$W_o = W_{me} k_e W_{el}, \quad (26)$$

és

$$W_f = k_m. \quad (27)$$

A zárt hurkú átviteli függvény

$$W_{\tau_l \rightarrow \omega_{ki}} = \frac{R_a + L_a s}{J_a L_a s^2 + J_a R_a s + k_e k_m} \quad (28)$$

A  $W_{u_0 \rightarrow i_a}$  pólusai:

$$p_1 = \frac{\sqrt{J_a (J_a R_a^2 - 4 L_a k_e k_m)} - J_a R_a}{2 J_a L_a} \quad (29)$$

$$p_2 = -\frac{\sqrt{J_a (J_a R_a^2 - 4 L_a k_e k_m)} + J_a R_a}{2 J_a L_a} \quad (30)$$

Az időállandók a pólusok reciprokának negáltjai:

$$T_1 = -\frac{2 J_a L_a}{\sqrt{J_a (J_a R_a^2 - 4 L_a k_e k_m)} - J_a R_a} = 1,3825 \cdot 10^{-4} \text{ s} \quad (31)$$

$$T_2 = \frac{2 J_a L_a}{\sqrt{J_a (J_a R_a^2 - 4 L_a k_e k_m)} + J_a R_a} = 0,0145 \text{ s} \quad (32)$$

A rendszer nullfrekvenciás erősítése

$$A_{\tau_l \rightarrow \omega_{ki}} = \frac{1}{k_m} = 17,1821 \quad (33)$$

## 2. BDC motor vizsgálata

### a. Szögsebességválasz a névleges feszültségre

Az 1.b. részfeladatban meghatározott átviteli függvényt fogjuk megvizsgálni. A bemenőjel

$$X = \frac{u_n}{s}, \quad (34)$$

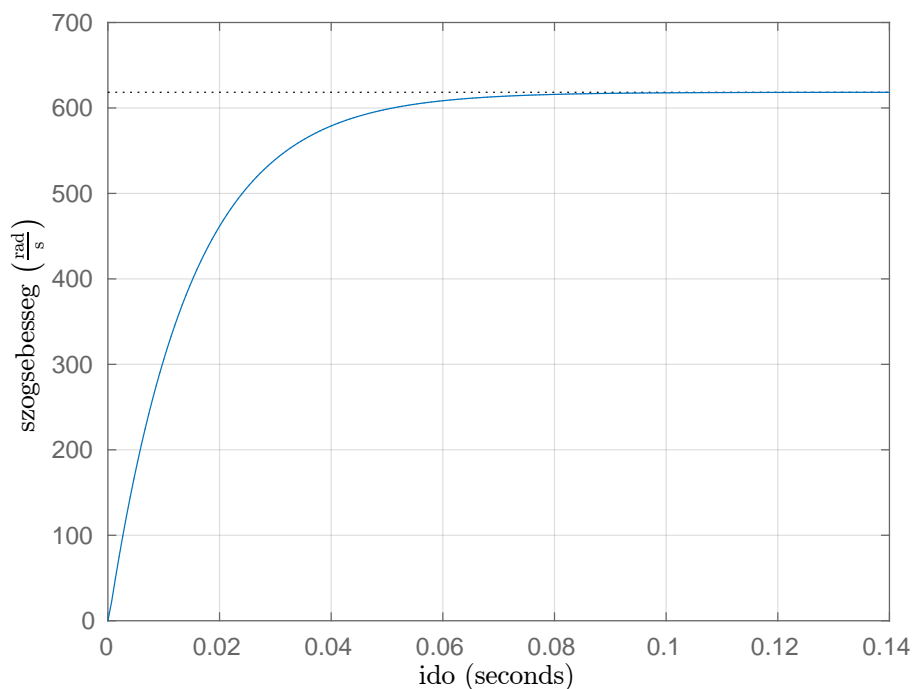
ez az egységugrás függvény Laplace-transzformáltja felnagyítva a névleges feszültségre. A kimenőjel Laplace-transzformáltja

$$Y = W_{u_0 \rightarrow \omega_{ki}} X = \frac{k_m}{L_a J_a s^2 + J_a R_a s + k_e k_m} \frac{u_n}{s} \quad (35)$$

Ezt inverz Laplace-transzformálva megkapjuk a szögsebesség válasz időfüggvényét:

$$y(t) = \mathcal{L}^{-1}(Y) = 618.34 - 618.34 e^{-3651.3 t} (\cosh(3582.2 t) + 1.0193 \sinh(3582.2 t)) \quad (36)$$

amit a 2. ábra mutat.



2. ábra. Szögsebesség válasz a névleges feszültségre

A kezdeti és az állandósult szögsebesség a végérték tételek segítségével számolható:

$$\omega(0) = \lim_{s \rightarrow \infty} sY = 0 \frac{\text{rad}}{\text{s}} \quad (37)$$

$$\omega(\infty) = \lim_{s \rightarrow 0} sY = 618,34 \frac{\text{rad}}{\text{s}} \quad (38)$$

A motor adatlapja a terhelés nélküli szögsebességet 5860 rpm = 613.66  $\frac{\text{rad}}{\text{s}}$ -nek adja meg. A számított 0.76 %-os relatív hiba numerikus hibáknak tudható be.

### b. Áram kimenet a névleges feszültség hatására

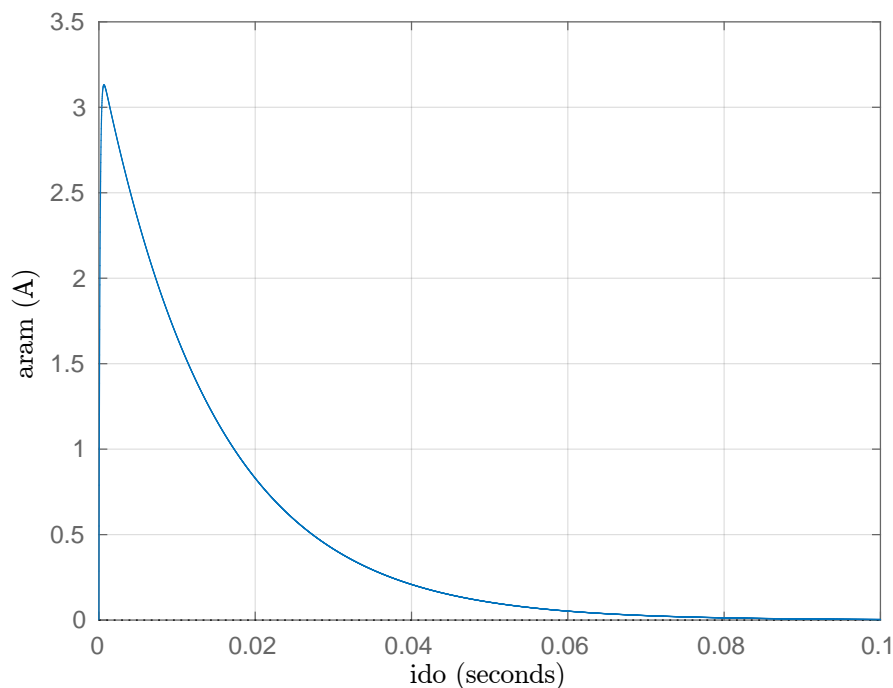
Az 1.c. részfeladatban meghatározott átviteli függvényt fogjuk megvizsgálni. A kimenőjel Laplace-transzformáltja

$$Y = W_{u_0 \rightarrow i_a} X = \frac{k_m}{L_a J_a s^2 + J_a R_a s + k_e k_m} \frac{u_n}{s} \quad (39)$$

Ezt inverz Laplace-transzformálva megkapjuk a szögsebesség válasz időfüggvényét:

$$y(t) = \mathcal{L}^{-1}(Y) = 3.3058 e^{-69.098 t} - 3.3058 e^{-7233.5 t} \quad (40)$$

amit a 3. ábra mutat.



3. ábra. Áram kimenet a névleges feszültség hatására

A kezdeti és az állandósult áram a végérték tételek segítségével számolható:

$$i_a(0) = \lim_{s \rightarrow \infty} sY = 0 \text{ A} \quad (41)$$

$$i_a(\infty) = \lim_{s \rightarrow 0} sY = 0 \text{ A} \quad (42)$$

### c. Nyomaték kimenet a névleges feszültség hatására

A DC motor egyenletei alapján

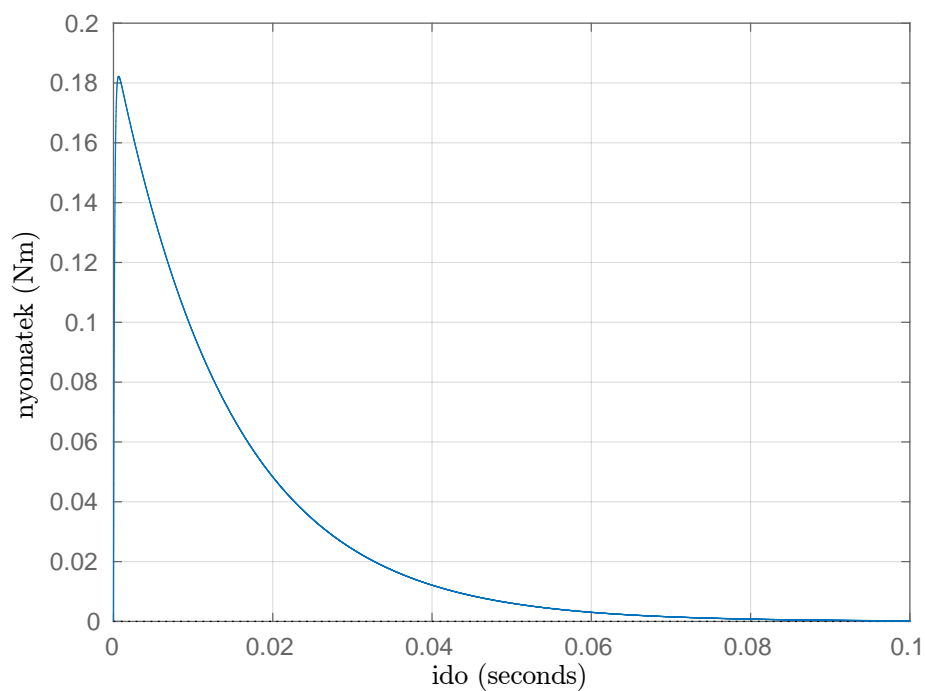
$$\tau_v = k_m i_a \quad (43)$$

A kimenőjel időfüggvénye:

$$y(t) = k_m y_{i_a}(t) = 0.18911 e^{-6.9145 t} - 0.18911 e^{-7295.7 t} \quad (44)$$



amit a 4. ábra mutat.



4. ábra. Nyomaték kimenet a névleges feszültség hatására

A kezdeti és az állandósult nyomaték analóg módon számolható:

$$\tau_v(0) = k_m 0 \text{ A} = 0 \text{ Nm} \quad (45)$$

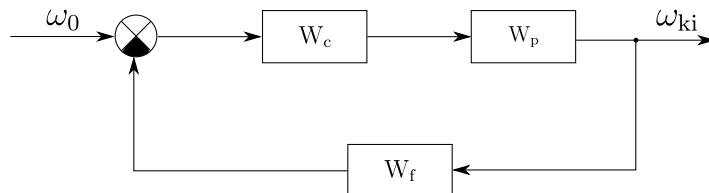
$$\tau_v(\infty) = k_m 0 \text{ A} = 0 \text{ Nm} \quad (46)$$

### 3. PI szabályzó tervezése

Ebben a feladatban a motorra egy PI szabályzót kapcsolunk, melynek átviteli függvénye

$$W_c = P \left( 1 + \frac{1}{T_I s} \right), \quad (47)$$

valamint a rendszer hatásvázlatát az 5. ábra mutatja.

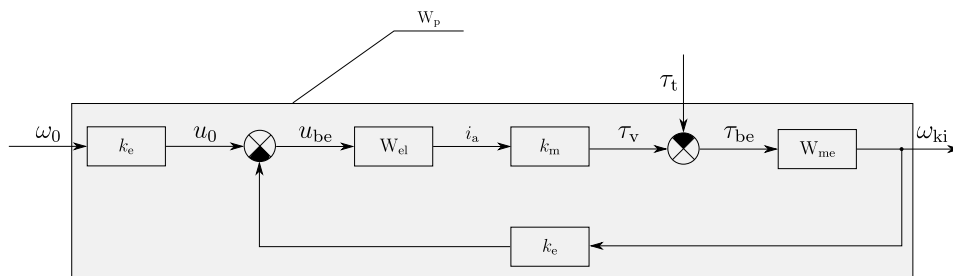


5. ábra. PI-szabályozott rendszer hatásvázlata

A motort egyetlen átviteli függvénnyel írjuk le, a 6. ábrának megfelelően. Ezt irányított szakasznak hívjuk, és kifejtve a

$$W_p = k_e W_{u_0 \rightarrow \omega_{ki}} = \frac{k_e k_m}{J_a L_a s^2 + J_a R_a s + k_e k_m} \quad (48)$$

alakot kapja. A visszacsatoló ág üres, tehát  $W_f = 1$ .



6. ábra. A motor átviteli függvénye  $W_p$

Az integráló tag időállandóját a szabályozott szakasz legnagyobb időállandójával tesszük egyenlővé. Ez a 8. egyenlet alapján  $T_I = 0,0145$  s.

#### a. A zárt szabályozási kör egyenletei

Jelöljük az előrevezető ág átviteli függvényét  $W_o$ -val. A zárt szabályozási kör átviteli függvénye

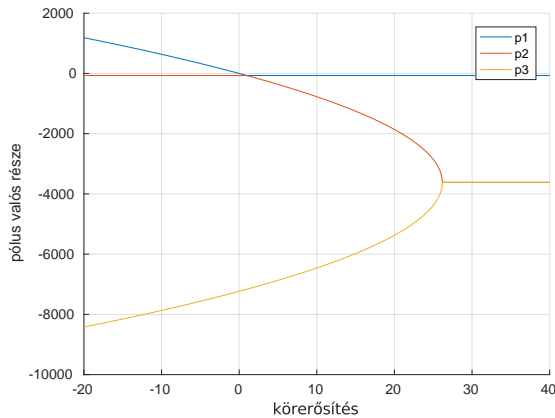
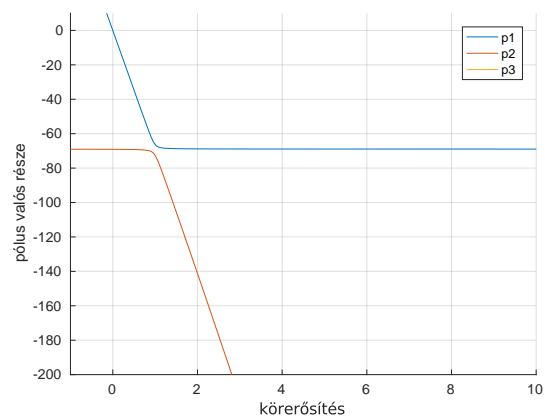
$$W_x = \frac{W_o}{1 + W_o} = \frac{P k_e k_m (T_I s + 1)}{P k_e k_m + J_a L_a T_I s^3 + J_a R_a T_I s^2 + T_I k_e k_m s + P T_I k_e k_m s} \quad (49)$$

A zárt szabályozási kör karakterisztikus egyenlete az 53. egyenlet nevezője, ami nullával egyenlő.

$$P k_e k_m + J_a L_a T_I s^3 + J_a R_a T_I s^2 + T_I k_e k_m s + P T_I k_e k_m s = 0. \quad (50)$$

### b. Stabilitás a körerősítés függvényében

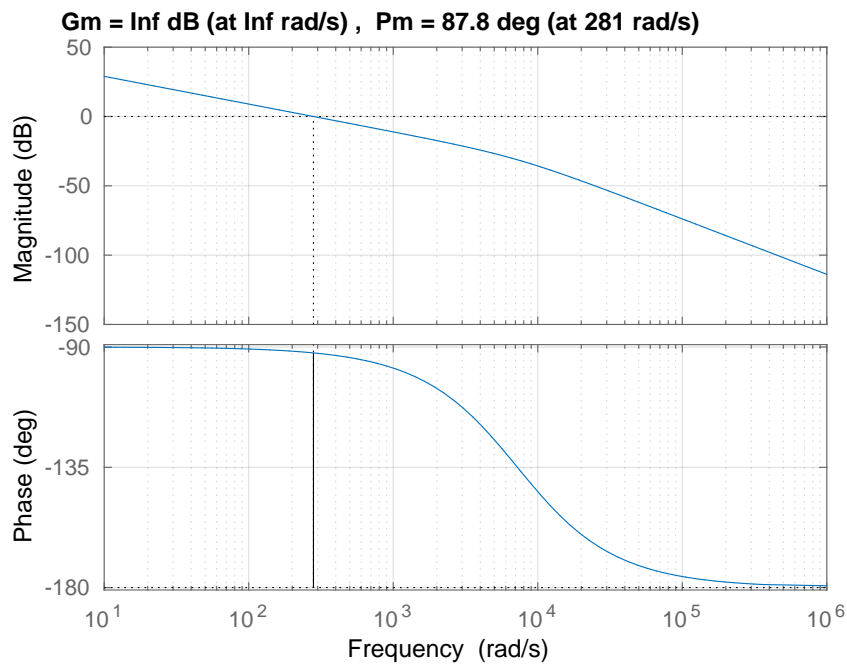
Rajzoljuk ki a pólusok valós részeit a körerősítés függvényében. A 7. ábrán jól látszik, hogy minden pozitív  $P$  értékre a pólusok negatív része valós, tehát a rendszer stabil.

(a) Lényeges  $P$  értékek(b) 0 körüli  $P$ -k

7. ábra. Pólusok valós része a körerősítés függvényében

### c. Megadott körerősítés esetén Bode-diagram és fázistartalék

Válasszuk a körerősítést  $P = \vartheta_2 = 4,063$ -re. Ennek a rendszernek a Bode-diagramját mutatja a 8. ábra. A margin függvényt használva megkapjuk a fázistartalékot, ami  $\varphi_m = 87.8^\circ$ .

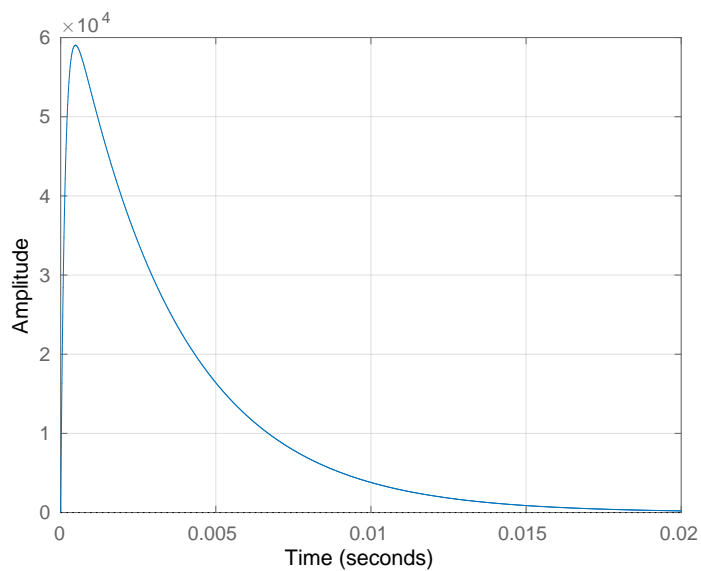


8. ábra. Szabályozási kör Bode-diagramja

#### d. Súlyfüggvény

A súlyfüggvényt könnyen kirajzolhatjuk az impulse függvénnyel. Az alapjel a névleges szögsebesség fele, vagyis

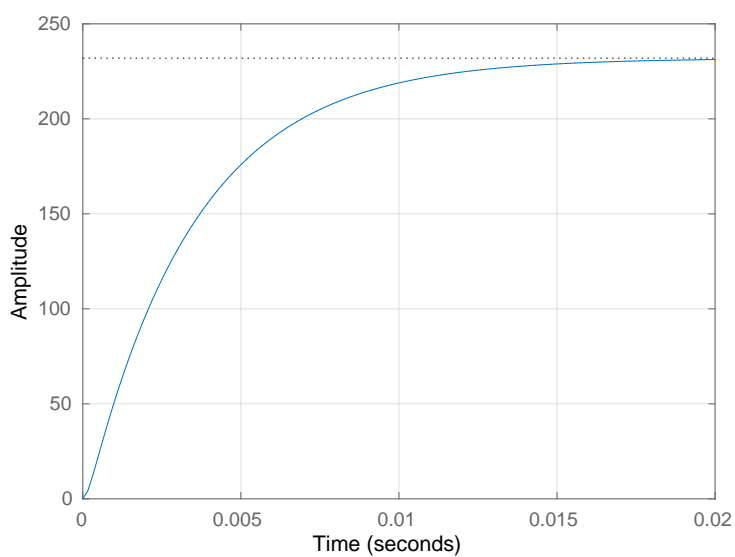
$$\omega_0 = \frac{\omega_n}{2} = 231.96 \frac{\text{rad}}{\text{s}}. \quad (51)$$



9. ábra. A zárt szabályozási kör impulzusválasza

#### e. Átmeneti függvény

Az átmeneti függvényt a step függvény adja meg. Az alapjel itt is a névleges szögsebesség fele.



10. ábra. A zárt szabályozási kör átmeneti függvénye

## 4. PD szabályzó tervezése

Az 5. ábrában a  $W_c$  szabályzót cseréljük ki egy PD szabályzóra, melynek átviteli függvénye

$$W_c = P \frac{T_D s + 1}{n T_D s + 1}. \quad (52)$$

A deriváló tag időállandóját a szabályozott szakasz második legnagyobb időállandójának célszerű megválasztani, ami  $T_D = 1,3825 \cdot 10^{-4}$ . Továbbá  $n = \vartheta_3 = 40,827$  adott.

### a. A zárt szabályozási kör egyenletei

Jelöljük az előrevezető ág átviteli függvényét  $W_o$ -val. A zárt szabályozási kör átviteli függvénye

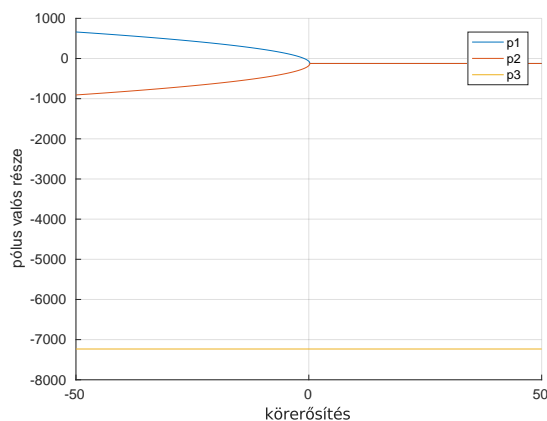
$$W_x = \frac{W_o}{1 + W_o} = \frac{P k_e k_m (T_D s + 1)}{\left( \frac{P k_e k_m (T_D s + 1)}{(T_D n s + 1) (J_a L_a s^2 + J_a R_a s + k_e k_m)} + 1 \right) (T_D n s + 1) (J_a L_a s^2 + J_a R_a s + k_e k_m)} \quad (53)$$

A zárt szabályozási kör karakterisztikus egyenlete az 53. egyenlet nevezője, ami nullával egyenlő.

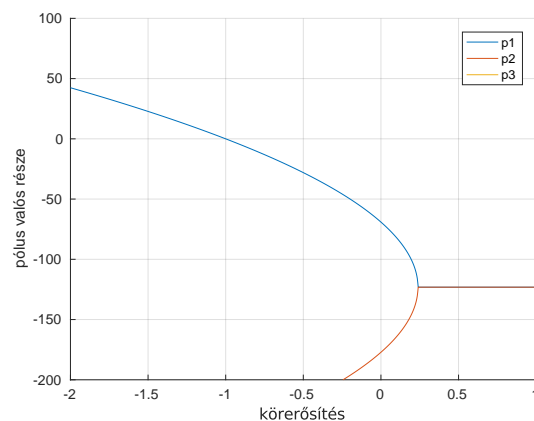
$$k_e k_m + J_a R_a s + P k_e k_m + J_a L_a s^2 + P T_D k_e k_m s + T_D k_e k_m n s + J_a L_a T_D n s^3 + J_a R_a T_D n s^2 = 0 \quad (54)$$

### b. Stabilitás a körerősítés függvényében

Rajzoljuk ki a pólusok valós részeit a körerősítés függvényében. A 11. ábrán látható, hogy minden  $P > 0$  értékre a pólusok negatív része valós, tehát a rendszer stabil.



(a) Lényeges  $P$  értékek

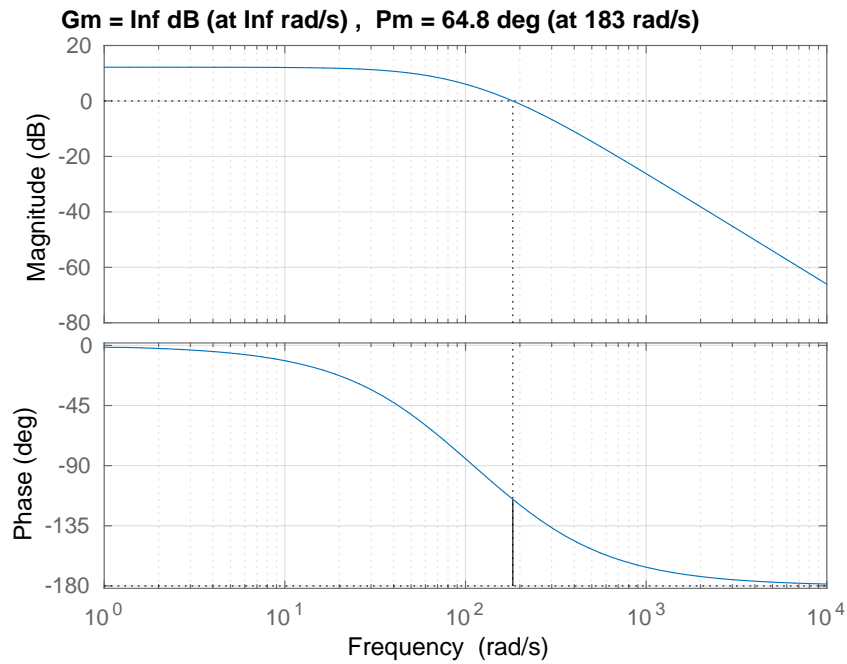


(b) 0 körüli  $P$ -k

11. ábra. Pólusok valós része a körerősítés függvényében

### c. Megadott körerősítés esetén Bode-diagram és fázistartalék

Válasszuk a körerősítést  $P = \vartheta_4 = 0,05$ -re. Ennek a rendszernek a Bode-diagramját mutatja a 12. ábra. A margin függvényt használva megkapjuk a fázistartalékot, ami  $\varphi_m = 64.8^\circ$ .

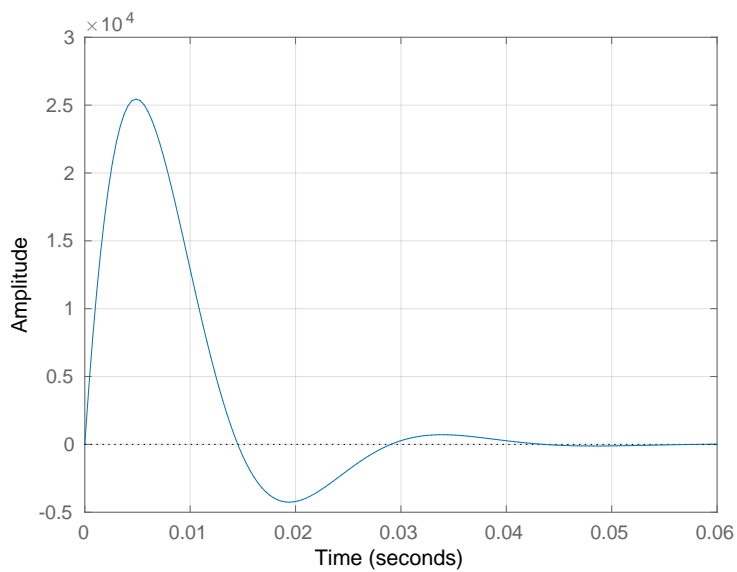


12. ábra. Szabályozási kör Bode-diagramja

#### d. Súlyfüggvény

A súlyfüggvényt könnyen kirajzolhatjuk az impulse függvénnyel. Az alapjel a névleges szögsebesség fele, vagyis

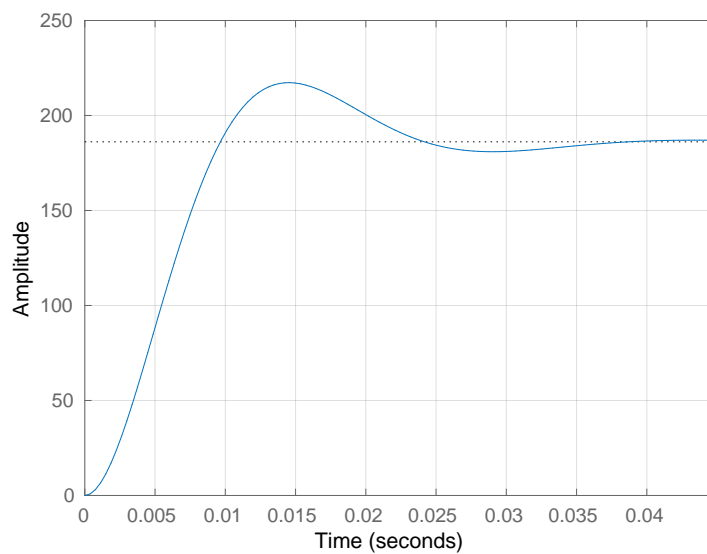
$$\omega_0 = \frac{\omega_n}{2} = 231.96 \frac{\text{rad}}{\text{s}}. \quad (55)$$



13. ábra. A zárt szabályozási kör impulzusválasza

**e. Átmeneti függvény**

Az átmeneti függvényt a step függvény adja meg. Az alapjel itt is a szögsebesség fele.



14. ábra. A zárt szabályozási kör átmeneti függvénye

## 5. Zavaró jel PI szabályozóval (Szorgalmi feladat)

Mivel a rendszerünk lineáris, ezért a két bemenetet kezelhetjük függetlenül.

Legyen a referencia feszültség bemenet Laplace-transzformáltja  $U_\omega = \frac{\omega_n}{2s}$ , a zavarójel pedig legyen egy  $\tau_0$  nagyságú ugrásfüggvény időben eltolva  $T_0$ -al, ami elvileg végtelen:  $U_\tau = \frac{\tau_0}{s} e^{-T_0 s}$ .

A rendszer szögsebesség válasza ezekre a bemenetekre kiszámítható a hatásvázlat segítségével.

$$Y = W_p U_p + W_{p\tau} U_\tau \quad (56)$$

$$U_p = W_c (U_0 - Y) \quad (57)$$

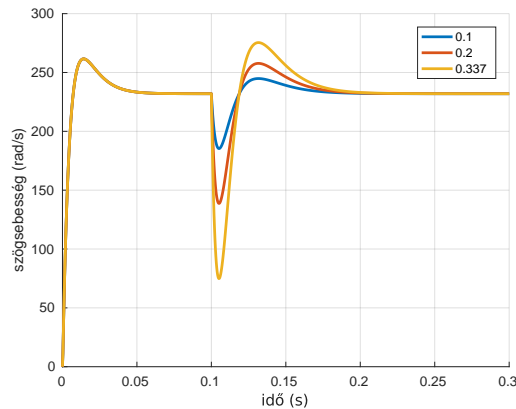
$$Y = \frac{W_p W_c U_0 + W_{p\tau} U_\tau}{W_p W_c + 1} \quad (58)$$

$$y = \mathcal{L}^{-1}\{Y\} \quad (59)$$

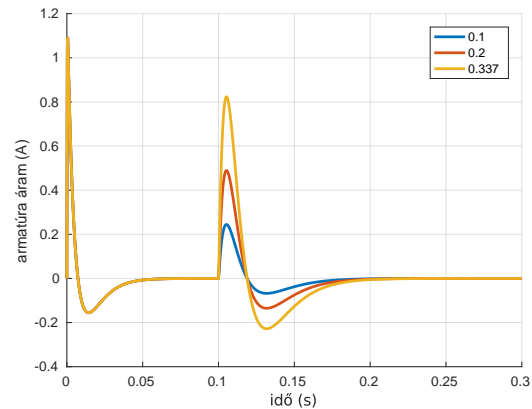
A szögsebességből az áram az alábbiak szerint számolható:

$$i_a(s) = k_e W_{el} (U_0 - Y_\omega) \quad (60)$$

Ezeknek az egyenleteknek a behelyettesített változatát nem írom ki, mert nagyon hosszú és csúnya, de a MATLAB kódban megtalálható.



(a) Szögsebesség válasz



(b) Áram válasz

15. ábra. Különböző amplitúdókra adott válasz

A maximális terhelőnyomaték

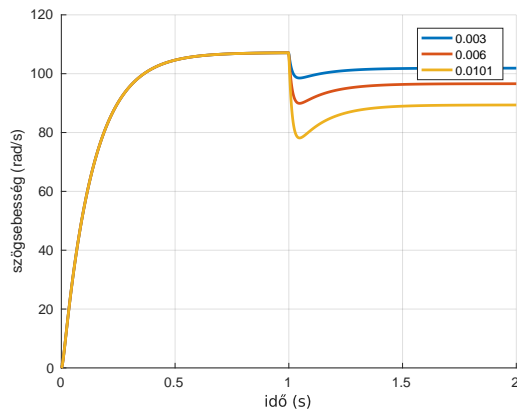
$$\tau_t^{\max} = \pm 0,337 \text{ Nm} \quad (61)$$

Bár az első tranziens közben az áram meghaladja a névleges áramot, az állandósult állapot után kezdünk vizsgálni, feltettük hogy a kezdeti áramot túlélte a motor.

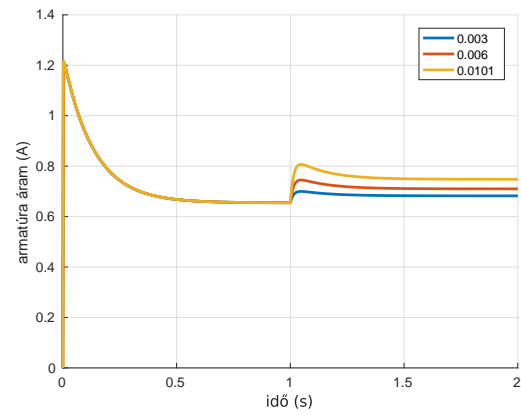


## 6. Zavaró jel PD szabályozóval (Szorgalmi feladat)

A levezetés az 5. feladatéhoz analóg módon történik annyi különbséggel, hogy  $W_c$  nem PI, hanem PD szabályzó.



(a) Szögsebesség válasz



(b) Áram válasz

16. ábra. Különböző amplitúdókra adott válasz

A maximális terhelőnyomaték

$$\tau_t^{\max} = \pm 0,0101 \text{ Nm} \quad (62)$$

## Hivatkozások

[1] DC motor adatlapja

<https://www.maxongroup.com/maxon/view/product/motor/dcmotor/amax/amax32/236671>